

Zespołowe zadanie programistyczne nr 2.

Tomografia stanu kwantowego kubit (przypadek tzw. stanu czystego).

TERMIN I (regularny) : do 30.06.2020 (wtorek)

TERMIN II (uzupełniający bez konsekwencji za opóźnienie) : do 01.09.2020 (wtorek) godz. 24:00

TERMIN III (w przypadku uzyskania oceny niedostatecznej, np. na skutek niewykonania projektu we wcześniejszych terminach) : do 25.09.2020 (piątek) godz. 24:00.

I Treść zadania

0. Metodyka przygotowania do realizacji zadania

0.1. Należy zapoznać się z treścią wykładu zawartą w e-konspekcie, określanym dalej mianem tutorialu, pt.: „FI_2019_2020_QI_Część_I.pdf” (zamieszczonego w chmurze PP).

Notacja [T-liczba] w dalszej części tekstu niniejszego opracowania oznacza odwołanie do slajdu tutorialu .

0.2. Załóż konto na platformie IBM Q <https://quantum-computing.ibm.com/login> [T-7] .

0.3 Wskazane jest samodzielne wykonanie przykładów zawartych w tutorialu.

0.4 Należy przeanalizować przykłady zawarte w pliku: [FI_Pomiary_XYZ.ipynb](#) (lub [FI_Pomiary_XYZ.py](#) , [FI_Pomiary_XYZ.pdf](#)). W tym celu należy wczytać plik [FI_Pomiary_XYZ.ipynb](#) do systemu IBM Q.

0.5 Należy zapoznać się z dalszą częścią niniejszego opracowania.

0.6 Literatura: <https://qiskit.org/textbook/preface.html> .

1. Założenia zadania .

1.1. Dane są trzy liczby

$$\text{In[1]:= } k1 = \text{Mod}[A1 + A2 + A3 + A4, 2] ; \quad k2 = \text{Mod}[A1 + A2 + A3 + A4, 2^2] ; \quad k3 = \text{Mod}[A1 + A2 + A3 + A4, 2^3] ;$$

[modulo] [modulo] [modulo]

gdzie liczby A1, A2, A3, A4 są zdefiniowane przez trzy ostatnie cyfry numerów albumów studentów wchodzących w skład zespołu.

Zauważmy, że $k1 = 0$ lub 1, natomiast liczby $k2$ i $k3$ pozwalają zdefiniować kąty:

$$\text{In[2]:= } \theta = \frac{\pi}{k2} ; \quad \phi = \frac{2\pi}{k3} ;$$

1.2. Zdefiniowany jest stan kubit opisany przez wektor $|k1\rangle$;

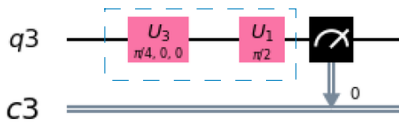
jeżeli $k_1=0$ to $|0\rangle = \begin{pmatrix} 1 \\ 0 \end{pmatrix}$, inaczej $|1\rangle = \begin{pmatrix} 0 \\ 1 \end{pmatrix}$ [T-15].

In[3]:= $|0\rangle = \{\{1\}, \{0\}\}; |1\rangle = \{\{0\}, \{1\}\};$

1.3. Zdefiniowane są operacje (bramki kwantowe) na stanach kubitu określone przez macierze u_1 i u_3 .

In[4]:= $u_1[\phi_-] = \begin{pmatrix} 1 & 0 \\ 0 & e^{i\phi_0} \end{pmatrix}; u_3[\theta_-, \theta, \theta] := \begin{pmatrix} \cos[\frac{\theta}{2}] & \sin[\frac{\theta}{2}] \\ -\sin[\frac{\theta}{2}] & \cos[\frac{\theta}{2}] \end{pmatrix}$

Iloczyn tych macierzy odpowiada fragmentowi obwodu kwantowego, otoczonemu na rysunku prostokątem.



Rys. Obwód kwantowy przygotowujący stan kubitu

Działanie złożenia operacji $u_1.u_3$ na stan $|0\rangle$ lub $|1\rangle$ prezentują poniższe przykłady.

In[5]:= $(u_1[\phi_0].u_3[\theta_0, \theta, \theta] \cdot |0\rangle) // \text{MatrixForm}$
[postać macierzy]

Out[5]//MatrixForm=

$$\begin{pmatrix} \cos\left[\frac{\pi}{2 \bmod [A1+A2+A3+A4, 4]}\right] \\ -e^{i \bmod [A1+A2+A3+A4, 8]} \sin\left[\frac{\pi}{2 \bmod [A1+A2+A3+A4, 4]}\right] \end{pmatrix}$$

In[6]:= $(u_1[\phi_0].u_3[\theta_0, \theta, \theta] \cdot |1\rangle) // \text{MatrixForm}$
[postać macierzy]

Out[6]//MatrixForm=

$$\begin{pmatrix} \sin\left[\frac{\pi}{2 \bmod [A1+A2+A3+A4, 4]}\right] \\ e^{i \bmod [A1+A2+A3+A4, 8]} \cos\left[\frac{\pi}{2 \bmod [A1+A2+A3+A4, 4]}\right] \end{pmatrix}$$

2. Polecenia:

2.1 Dla parametrów k_1, k_2, k_3 wyznacz teoretyczny wynik działania $u_1[\phi_0].u_3[\theta_0, 0, 0].|k_1\rangle$.

2.2 Korzystając z notatnika Jupyter, na platformie IBM Q [T-8] i języka Python 3 napisz program, który implementuje operację $u_1[\phi_0].u_3[\theta_0, 0, 0].|k_1\rangle$. Skorzystaj z pliku: [FI_Pomiary_XYZ.ipynb](#) (lub [FI_Pomiary_XYZ.py](#), [FI_Pomiary_XYZ.pdf](#)) zamieszczonych w chmurze PP, który zawiera stosowny przykład (ostatni obwód kwantowy w pliku). Jeżeli $k_1=1$ musisz korzystać również z bramki X. [T-28, T-29, T-32].

2.3 Rozwiń ten program aby uwzględniał pomiary typu X, Y i Z [T-45, T-48, T-51]. Pomocnicze przykłady zamieszczono również w pliku: [FI_Pomiary_XYZ.ipynb](#) (lub [FI_Pomiary_XYZ.py](#), [FI_Pomiary_XYZ.pdf](#)).

2.4 Korzystając z napisanego programu wyznacz doświadczalne prawdopodobieństwa (*a posteriori*) uzyskania wyników 0 i 1 w pomiarach X, Y, Z.

2.5 Wyznacz na tej podstawie doświadczalny wektor Blocha. Wektor ten jest zdefiniowany w punktach: II/2/2.3, III/1, IV/Krok 1 niniejszego opracowania.

2.3 Korzystając z wyznaczonego wektora Blocha i stosując algorytm opisany w punkcie IV

niniejszego opracowania wyznaczyć doświadczalny (*a posteriori*) stan kwantowy kubitu, który jest generowany w wyniku operacji $u1[\phi0].u3[\theta0,0,0].|k1\rangle$.

2.6 Porównaj stan wyznaczony doświadczalnie (*a posteriori*) ze stanem wyznaczonym teoretycznie (*a priori*) zgodnie z opisem w punkcie I/1/1.3 lub II/2/2.3 niniejszego opracowania.

2.7 Każdy zespół powinien przesłać w formacie PDF:

a) ankietę z realizacji projektu, która powinna zawierać:

- skład zespołu realizującego projekt,
- wykaz prac wykonanych przez poszczególnych członków zespołu:
- procentowy udział w realizacji projektu poszczególnych członków zespołu
- wykaz przesłanych plików,
- wykaz zapożyczonych bibliotek (wskazać źródło),
- zrzuty ekranowe ilustrujące działanie programu, tzn. graficzne przedstawienie obwodów kwantowych wraz z graficznym przedstawieniem wyników pomiarów typu X, Y, Z;
- stan kwantowy wyznaczony *a posteriori* i *a priori*.
- zapis obliczeń wykonanych zgodnie z procedurą zawartą w punkcie IV niniejszego opracowania (zamiennie można przesłać plik z adekwatnym fragmentem notatnika Mathematica zapisany w formacie PDF).

b) notatnik Jupyter zawierający ten kod zapisany w formacie PDF albo kod źródłowy w języku python.

3. Każdy z członków zespołu powinien obowiązkowo przesłać oświadczenie poprzez oficjalny mail o treści :

„Niniejszym oświadczam, że informacje zawarte w ankiecie dotyczącej **Zadania programistycznego nr 2** z fizyki dla informatyków, a przesłane przez upoważnionego przeze mnie reprezentanta zespołu, panią/pana *Imię i Nazwisko*, zostały uzgodnione w zespole o składzie :

- *Imię1 i Nazwisko1*,
- *Imię2 i Nazwisko2*,
- *Imię3 i Nazwisko3*,
- *Imię4 i Nazwisko4*.

i są zgodne ze stanem faktycznym.

Potwierdzam wyszczególnioną w ankiecie deklarację o moim osobistym udziale w realizacji **Zadania programistycznego nr 2**, który obejmował:

- należy wyszczególnić te same informacje, które zawarto w ankiecie.

Jestem świadom odpowiedzialności regulaminowej i prawnej za złożenie fałszywego oświadczenia.
Imię i Nazwisko

4. W komunikacji mailowej należy korzystać z oficjalnego konta studenckiego przydzielonego przez Politechnikę Poznańską.

5. W przypadku **Zadania programistycznego nr 2** standardowo nie przewiduję *colloquium*. Jednak w razie powziętych wątpliwości zastrzegam możliwość wskazania terminu takiego *colloquium* dla całego zespołu z prowadzącym zajęcia, w trybie audio-wideo.

II Twierdzenie

1. Założenia twierdzenia:

1.1. Dane są wektory bazy przestrzeni stanów kwantowych kubitów:

$$|0\rangle = \begin{pmatrix} 1 \\ 0 \end{pmatrix}; |1\rangle = \begin{pmatrix} 0 \\ 1 \end{pmatrix}$$

$$\text{oraz macierze } \sigma_x = \begin{pmatrix} 0 & 1 \\ 1 & 0 \end{pmatrix}, \sigma_y = \begin{pmatrix} 0 & -i \\ i & 0 \end{pmatrix}, \sigma_z = \begin{pmatrix} 1 & 0 \\ 0 & -1 \end{pmatrix}.$$

1.2. Zdefiniowane są trzy pary wektorów:

$$a) |\theta_z\rangle = |\theta\rangle, |\mathbf{1}_z\rangle = |\mathbf{1}\rangle;$$

$$b) |\theta_x\rangle = \frac{1}{\sqrt{2}} (|\theta\rangle + |\mathbf{1}\rangle), |\mathbf{1}_x\rangle = \frac{1}{\sqrt{2}} (|\theta\rangle - |\mathbf{1}\rangle);$$

$$c) |\theta_y\rangle = \frac{1}{\sqrt{2}} (|\theta\rangle + i|\mathbf{1}\rangle), |\mathbf{1}_y\rangle = \frac{1}{\sqrt{2}} (|\theta\rangle - i|\mathbf{1}\rangle).$$

1.3. Ogólny stan kubitów określony jest przez wektor kolumnowy typu ket:

$$|\psi_\theta\rangle = \cos[\theta/2] |\theta\rangle + e^{i\phi} \sin[\theta/2] |\mathbf{1}\rangle,$$

$$\text{któremu odpowiada wektor typu bra: } \langle\psi_\theta| = \langle\psi_\theta|^\dagger = \cos[\theta/2] \langle\theta| + e^{-i\phi} \sin[\theta/2] \langle\mathbf{1}|.$$

1.4. Zdefiniowany jest wektor $P=[P_x, P_y, P_z]$ taki, że

$$P_x = \langle\psi_\theta| \sigma_x |\psi_\theta\rangle, P_y = \langle\psi_\theta| \sigma_y |\psi_\theta\rangle, P_z = \langle\psi_\theta| \sigma_z |\psi_\theta\rangle.$$

1.5. Zdefiniowana jest macierz $\sigma P = P_x \sigma_x + P_y \sigma_y + P_z \sigma_z$.

2. Tezy twierdzenia:

2.1. Dla wektora P zachodzi $|P|^2 = (P_x)^2 + (P_y)^2 + (P_z)^2 = 1$, tzn. wektor P jest wektorem jednostkowym, przy czym jego współrzędne są rzeczywiste.

2.2. Wektor P , opisujący stan kubitów, jest wektorem własnym operatora (macierzy)

$$\sigma P = P_x \sigma_x + P_y \sigma_y + P_z \sigma_z, \text{ odpowiadającym wartości własnej } \lambda = +1 \text{ tego operatora.}$$

2.3. Współrzędne wektora Blocha P można obliczyć jako różnice prawdopodobieństw:

$$a) P_x = p_x[\theta_x] - p_x[\mathbf{1}_x], \text{ gdzie } p_x[\theta_x] = \langle\psi_\theta| \sigma_x |\psi_\theta\rangle, p_x[\mathbf{1}_x] = \langle\mathbf{1}| \sigma_x |\mathbf{1}\rangle; \quad ;$$

$$b) P_y = p_y[\theta_y] - p_y[\mathbf{1}_y], \text{ gdzie } p_y[\theta_y] = \langle\psi_\theta| \sigma_y |\psi_\theta\rangle, p_y[\mathbf{1}_y] = \langle\mathbf{1}| \sigma_y |\mathbf{1}\rangle; \quad ;$$

$$c) P_z = p_z[\theta_z] - p_z[\mathbf{1}_z], \text{ gdzie } p_z[\theta_z] = \langle\psi_\theta| \sigma_z |\psi_\theta\rangle, p_z[\mathbf{1}_z] = \langle\mathbf{1}| \sigma_z |\mathbf{1}\rangle. \quad .$$

Uwaga! Standardowa notacja iloczynu skalarnego w fizyce kwantowej zapisywana jest w postaci $\langle\psi| \phi\rangle$. W niniejszym opracowaniu korzystamy z notacji nawiązującej do notacji programu Mathematica $\langle\psi_\theta| \phi\rangle$.

3. Dowód:

Dowód przeprowadzimy, z wykorzystaniem programu Mathematica (Stephen Wolfram, twórca programu Mathematica, jest fizykiem, <https://www.stephenwolfram.com/>, <https://www.wolfram-physics.org/>).

Krok 1. Definicja bazy przestrzeni wektorowej, wektora stanu oraz iloczynu skalarnego.

Zakładamy, że kąt polarny θ i kąt azymutalny ϕ , określające położenie stanu kubitów na sferze Blocha [T-19], są rzeczywiste. Litery greckie wprowadzamy z klawiatury przez sekwencję znaków:

σ - Esc s Esc , θ - Esc th Esc , ϕ - Esc f Esc , ψ - Esc ps Esc .

```
In[8]:= $Assumptions = { $\theta \in \text{Reals} \wedge \phi \in \text{Reals}$ }
      |domyślne założenia |liczby rzec... |liczby rze
```

```
Out[8]= { $\theta \in \mathbb{R} \ \&\& \ \phi \in \mathbb{R}$ }
```

Definiujemy wektory bazy i jako wektory kolumnowe. W programie Mathematica do zapisu symbolu lub stosujemy odpowiednie skróty: Esc ket Esc , Esc bra Esc . Funkcja **MatrixForm** programu Mathematica ukazuje jawną strukturę wektorów, macierzy.

```
In[9]:= ( $|\mathbf{0}\rangle = \{\{1\}, \{0\}\}$ ) // MatrixForm
      |postać macierzy
```

```
Out[9]//MatrixForm=
```

$$\begin{pmatrix} 1 \\ 0 \end{pmatrix}$$

```
In[10]:= ( $|\mathbf{1}\rangle = \{\{0\}, \{1\}\}$ ) // MatrixForm
      |postać macierzy
```

```
Out[10]//MatrixForm=
```

$$\begin{pmatrix} 0 \\ 1 \end{pmatrix}$$

Definiujemy operację sprzężenia † (hermitowskiego), które przekształca wektor ket na wektor [T - 16]. W programie Mathematica używamy skrótu Esc ct Esc . Zastosowanie funkcji **Simplify[]** pozwala uwzględnić założenia $\theta \in \mathbb{R}$ i $\phi \in \mathbb{R}$.

```
In[11]:=  $\langle \mathbf{i}_- | := \text{Simplify}[|\mathbf{i}\rangle^\dagger]$ 
      |uprosć
```

Definiujemy wektor ket $|\psi_\theta\rangle$ opisujący ogólny stan kwantowy kubitu oraz wektor dualny bra $\langle\psi_\theta|$, który odpowiada wektorowi ket [T - 16].

```
In[12]:= ( $|\psi_\theta\rangle = \text{Cos}[\theta/2] |\mathbf{0}\rangle + e^{i\phi} \text{Sin}[\theta/2] |\mathbf{1}\rangle$ ) // MatrixForm
      |cosinus |sinus |postać macierzy
```

```
Out[12]//MatrixForm=
```

$$\begin{pmatrix} \text{Cos}\left[\frac{\theta}{2}\right] \\ e^{i\phi} \text{Sin}\left[\frac{\theta}{2}\right] \end{pmatrix}$$

```
In[13]:= ( $\langle\psi_\theta| = \text{Simplify}[|\psi_\theta\rangle^\dagger]$ ) // MatrixForm
      |uprosć |postać macierz
```

```
Out[13]//MatrixForm=
```

$$\begin{pmatrix} \text{Cos}\left[\frac{\theta}{2}\right] & e^{-i\phi} \text{Sin}\left[\frac{\theta}{2}\right] \end{pmatrix}$$

Definiujemy iloczyn skalarny . Symbol ten wprowadzamy za pomocą skrótu klawiszowego Esc bracket Esc. Kropka "." oznacza tu mnożenie wektora wierszowego i kolumnowego, zastosowanie ";" blokuje wyświetlanie wyniku przypisania ale nie blokuje przypisania.

```
In[14]:=  $\langle \mathbf{a}_- | \mathbf{b}_- \rangle = \langle \mathbf{a} | \cdot | \mathbf{b} \rangle;$ 
```

Krok 2. Definicja macierzy związanych z pomiarami typu: X, Y, Z ; wektora P .

Dowód tezy 1. twierdzenia.

Po zdefiniowaniu wektorów bra i ket wprowadzamy tzw. macierze Pauliego: $\sigma_x, \sigma_y, \sigma_z$ (oznaczane w tutorialu również jako X, Y, Z. Związane są one z trzema typami pomiarów realizowanych na kubicie (w dowolnej fizycznej implementacji) [T-45, 48, 51].

```
In[15]:=  $\sigma_x = \text{PauliMatrix}[1]; \sigma_y = \text{PauliMatrix}[2]; \sigma_z = \text{PauliMatrix}[3];$ 
```

```
In[16]:= {{ $\sigma_x$ ,  $\sigma_y$ ,  $\sigma_z$ }} // MatrixForm
```

```
Out[16]//MatrixForm=
```

$$\left(\begin{pmatrix} 0 & 1 \\ 1 & 0 \end{pmatrix} \quad \begin{pmatrix} 0 & -i \\ i & 0 \end{pmatrix} \quad \begin{pmatrix} 1 & 0 \\ 0 & -1 \end{pmatrix} \right)$$

Wyznaczamy współrzędne $P_x =$, $P_y =$, $P_z =$ wektora $P = \{P_x, P_y, P_z\}$. Zauważmy, że w tym celu działamy macierzą σ_y na wektor kolumnowy (ket) , tzn. wykonujemy operację: . W wyniku otrzymujemy pewien wektor kolumnowy. Następnie mnożymy ten wynik przez wektor wierszowy (bra) i w wyniku otrzymujemy skalar (liczbę). Kropka “.” oznacza w programie Mathematica mnożenia macierzy. Polecenie **FullSimplify[]** kontroluje uproszczenia algebraiczne a polecenie **Flatten[]** redukuje liczbę nawiasów klamrowych niepotrzebnych w dalszych obliczeniach, tj. „spłaszcza” strukturę tablic. Stosując funkcję **Flatten[]** należy oczywiście postępować ostrożnie, żeby przypadkowo nie przekształcić np. macierzy w wektor.

```
In[17]:=  $P_x = \text{Flatten}[\text{FullSimplify}[\langle \psi_\theta | \cdot \sigma_x \cdot | \psi_\theta \rangle]]$ 
```

```
Out[17]= {Cos[ $\phi$ ] Sin[ $\theta$ ] }
```

```
In[18]:=  $P_y = \text{Flatten}[\text{FullSimplify}[\langle \psi_\theta | \cdot \sigma_y \cdot | \psi_\theta \rangle]]$ 
```

```
Out[18]= {Sin[ $\theta$ ] Sin[ $\phi$ ] }
```

```
In[19]:=  $P_z = \text{Flatten}[\text{FullSimplify}[\langle \psi_\theta | \cdot \sigma_z \cdot | \psi_\theta \rangle]]$ 
```

```
Out[19]= {Cos[ $\theta$ ] }
```

Stosujemy operację transpozycji T (skrót **Esc tr Esc**), żeby zapisać wektor P w postaci wektora wierszowego. Zauważamy, że wektor P:

```
In[20]:=  $P = \{P_x, P_y, P_z\}^T$ 
```

```
Out[20]= {{Cos[ $\phi$ ] Sin[ $\theta$ ] , Sin[ $\theta$ ] Sin[ $\phi$ ] , Cos[ $\theta$ ] }}
```

jest wektorem o współrzędnych rzeczywistych.

Obliczamy iloczyn skalarny wektora P z samym sobą, tzn. wyznaczamy kwadrat długości tego wektora.

```
In[21]:=  $P \cdot P^T$ 
```

```
Out[21]= {{Cos[ $\theta$ ]2 + Cos[ $\phi$ ]2 Sin[ $\theta$ ]2 + Sin[ $\theta$ ]2 Sin[ $\phi$ ]2 }}
```

Upraszczamy otrzymany wynik

```
In[22]:=  $nP = \text{Simplify}[\text{Sqrt}[P \cdot P^T]]$ 
```

```
Out[22]= {{1} }
```

otrzymując wartość kwadratu długości wektora P równą $nP=1$.
Zatem została udowodniona teza 1. twierdzenia.

Krok 3. Definicja macierzy σ_P oraz rozwiązanie jej zagadnienia własnego (tzn. wyznaczanie wartości własnych i wektorów własnych) .

Definiujemy wektor kolumnowy, którego współrzędnymi są macierze Pauliego.

```
In[23]:=  $\sigma = \{\{\sigma_x\}, \{\sigma_y\}, \{\sigma_z\}\}$ 
```

```
Out[23]:= {{{{0, 1}}, {{1, 0}}}, {{{0, -I}, {{I, 0}}}, {{{1, 0}}, {{0, -1}}}}
```

Jawną strukturę “wektora” macierzowego σ możemy zbadać korzystając z funkcji **MatrixForm** .

```
In[24]:=  $\sigma$  // MatrixForm
```

postać macierzy

```
Out[24]//MatrixForm=
```

$$\begin{pmatrix} \begin{pmatrix} 0 & 1 \\ 1 & 0 \end{pmatrix} \\ \begin{pmatrix} 0 & -i \\ i & 0 \end{pmatrix} \\ \begin{pmatrix} 1 & 0 \\ 0 & -1 \end{pmatrix} \end{pmatrix}$$

Pamiętając, że wektor P jest wektorem wierszowym wyznaczamy iloczyn skalarny $P \cdot \sigma$ w jawnej postaci.

```
In[25]:=  $P \cdot \sigma$  // MatrixForm
```

postać macierzy

```
Out[25]//MatrixForm=
```

$$\begin{pmatrix} \cos[\theta] & \cos[\phi] \sin[\theta] - i \sin[\theta] \sin[\phi] \\ \cos[\phi] \sin[\theta] + i \sin[\theta] \sin[\phi] & -\cos[\theta] \end{pmatrix}$$

Korzystając z polecenia **Flatten[□,2]** usuwamy zewnętrzne nawiasy zbędne w dalszych obliczeniach, przy czym parametr „2” określa poziom “spłaszczenia” wyrażenia.

```
In[26]:= Flatten[P.σ, 2] // MatrixForm
```

spłaszcz

postać macierzy

```
Out[26]//MatrixForm=
```

$$\begin{pmatrix} \cos[\theta] & \cos[\phi] \sin[\theta] - i \sin[\theta] \sin[\phi] \\ \cos[\phi] \sin[\theta] + i \sin[\theta] \sin[\phi] & -\cos[\theta] \end{pmatrix}$$

Po rozpoznaniu struktury wyrażenia $P \cdot \sigma$ definiujemy macierz σ_n . Funkcja **FullSimplify[]** dokonuje upraszczających przekształceń algebraicznych, w tym trygonometrycznych i zespolonych. np.: zamienia postać trygonometryczną liczby zespolonej $\cos[\phi] + i \sin[\phi]$ na wykładniczą $e^{i\phi}$.

```
In[27]:= ( $\sigma_P = \text{FullSimplify}[\text{Flatten}[P \cdot \sigma, 2]]$ ) // MatrixForm
```

uprość pełniej

spłaszcz

postać macierzy

```
Out[27]//MatrixForm=
```

$$\begin{pmatrix} \cos[\theta] & e^{-i\phi} \sin[\theta] \\ e^{i\phi} \sin[\theta] & -\cos[\theta] \end{pmatrix}$$

W tym momencie możemy przejść do wyznaczenia wartości własnych i wektorów własnych macierzy σ_P . W programie Mathematica wartości własne i wektory własne wyznaczamy za pomocą funkcji **Eigensystem[]** .

```
In[28]:= Eigensystem[σP]
```

wartości i wektory własne

```
Out[28]:= {{-1, 1}, {{e^{-i\phi} (Cot[\theta] - Csc[\theta])}, 1}, {e^{-i\phi} (Cot[\theta] + Csc[\theta])}, 1}}
```

W wyrażeniu powyżej lista $\{-1, 1\}$ oznacza wartości własne macierzy σ_P a kolejne dwie listy zawierają wektory własne, które kolejno odpowiadają wartościom własnym -1 i 1 . Zauważmy, że

funkcja **Csc[]** (nie jest cosinus) jest odwrotnością funkcji **Sin[]**. Wynik można uprościć korzystając z funkcji **TrigFactor[]**, która przekształca wyrażania trygonometryczne do postaci iloczynowej. Uproszczoną postać przypisujemy do zmiennej **ww**.

```
In[29]:= (ww = TrigFactor[Eigensystem[σP]]) // MatrixForm
      |_____|
      |faktoryzuj fu...|wartości i wektory własne|postać macierzy
```

```
Out[29]//MatrixForm=
```

$$\begin{pmatrix} -1 & 1 \\ \{-e^{-i\phi} \tan[\frac{\theta}{2}], 1\} & \{e^{-i\phi} \cot[\frac{\theta}{2}], 1\} \end{pmatrix}$$

Z drugiego wiersza otrzymanego wyrażania (**ww**) wybieramy drugi wektor własny, który odpowiada wartości własnej równej 1 i przedstawiamy go w postaci kolumnowego wektora ket **|ψn⟩**. W tym celu podajemy indeksy wyrażenia, które chcemy wybrać: **[[i,j,k]]**, gdzie **i** wskazuje wiersz, **j** kolumnę a **k** konkretną składową wybranego wektora własnego.

```
In[30]:= (|ψn⟩ = {{ww[[2, 2, 1]]}, {ww[[2, 2, 2]]}}) // MatrixForm
      |_____|
      |postać macierzy
```

```
Out[30]//MatrixForm=
```

$$\begin{pmatrix} e^{-i\phi} \cot[\frac{\theta}{2}] \\ 1 \end{pmatrix}$$

Konstruujemy również wierszowy wektor dualny bra.

```
In[31]:= ⟨ψn| = Simplify[|ψn⟩†]
      |_____|
      |uprość
```

```
Out[31]= {{e^{i\phi} \cot[\frac{\theta}{2}], 1}}
```

Krok 4. Normowanie wektora własnego i dowód tezy 2. twierdzenia .

Wektory własne wyznaczone przez program Mathematica na ogół nie są unormowane. Teoria kwantowa wymaga by wektor opisujący stan kwantowy kubitu był unormowany do jedności [T-18 i T-19], gdyż kwadraty modułów współrzędnych są prawdopodobieństwem znalezienia kubitu w określonym stanie [T-17, T-19, T-20]. W celu unormowania wektora stanu obliczamy iloczyn skalarny $\langle \psi_n | \cdot | \psi_n \rangle$, tj. wyznaczamy kwadrat długości wektora **norma2**. Wyrażanie **[[1,1]]** pozwala usunąć niepotrzebne nawiasy i “wyłuskać” z nich liczbę, która stanowi szukana wartość iloczynu skalarnego.

```
In[32]:= norma2 = TrigFactor[ ((⟨ψn| . |ψn⟩) [[1, 1]]) ]
      |_____|
      |faktoryzuj funkcje trygonometryczne
```

```
Out[32]= Csc[\frac{\theta}{2}]^2
```

Następnie wyznaczamy czynnik normujący **n** przez który należy pomnożyć normowany wektor aby jego długość po unormowaniu była równa jedności. Przypisanie puste **n=.** usuwa wszelkie przypisanie do **n** nieporządkne przy korzystaniu z funkcji **Solve[]** służącej do algebraicznego rozwiązywania równań.

```
In[33]:= n = .; r = Solve[norma2 == 1 / n^2, n]
      |_____|
      |rozwiąż równanie
```

```
Out[33]= {{n -> -Sin[\frac{\theta}{2}]}, {n -> Sin[\frac{\theta}{2}]}}
```


Czynnik normujący jest określany z dokładnością do czynnika fazowego $e^{i\delta}$, gdzie δ może być dowolne. Czynniki $e^{i\delta}$ nie wpływają na wartość $\langle \psi | \psi \rangle$, w szczególności $e^{i\delta}$ może przyjąć wartość 1 lub -1. Ponadto czynnik $e^{i\delta}$ nie wpływa również na wartość $|\langle \phi | \psi \rangle|^2$ [T-17 i notatki odręczne na slajdach T-45 i T-48], tzn. $|\langle \phi | \psi \rangle|^2 = |\langle \phi | e^{i\delta} \psi \rangle|^2$, bo $|e^{i\delta}| = 1$. Zatem $e^{i\delta}$ nie wpływa na prawdopodobieństwo otrzymywania wyników pomiarów typu X, Y i Z. Możemy więc przyjąć,

```
In[34]:= n = (e^{i\phi} n /. r[[2, 1]])
```

```
Out[34]= e^{i\phi} Sin[\frac{\theta}{2}]
```

że czynnik normujący jest równy $e^{i\phi} \sin\left[\frac{\theta}{2}\right]$ i ostatecznie wyznaczamy unormowany wektor $|\psi\rangle$ odpowiadający wartości własnej równej 1.

```
In[35]:= |\psi\rangle = n |\psi n\rangle
```

```
Out[35]= {{Cos[\frac{\theta}{2}]}, {e^{i\phi} Sin[\frac{\theta}{2}]}}
```

```
In[36]:= |\psi\rangle // MatrixForm
           |postać macierzy
```

```
Out[36]//MatrixForm=
      ( Cos[\frac{\theta}{2}]
        e^{i\phi} Sin[\frac{\theta}{2}] )
```

Wektor jest zatem równy wektorowi co kończy dowód tezy 2. twierdzenia.

Krok 5. Prawdopodobieństwo wyników pomiaru typu X. Dowód tezy 3- a).

Zdefiniujmy wektory (oznaczane w tutorialu [T-45] jako i) poprzez :

```
In[37]:= |0_x\rangle = \frac{1}{\sqrt{2}} (|0\rangle + |1\rangle); |1_x\rangle = \frac{1}{\sqrt{2}} (|0\rangle - |1\rangle);
```

W jawnej postaci można je zapisać jako $\begin{pmatrix} \frac{1}{\sqrt{2}} \\ \frac{1}{\sqrt{2}} \end{pmatrix}$ i $\begin{pmatrix} \frac{1}{\sqrt{2}} \\ -\frac{1}{\sqrt{2}} \end{pmatrix}$.

Są one ortonormalnymi (unormowanymi i ortogonalnymi) wektorami własnymi macierzy σ_x (oznaczanej także jako X), co można sprawdzić wykonując obliczenia σ_x , σ_x , oraz , , . Pomiar typu X [T-45] sprawdza prawdopodobieństwo znalezienia kubitu w stanach: , . Prawdopodobieństwo to wyznaczamy korzystając z iloczynu skalarnego: $p_x[i_x] =$ = , gdzie $i=0$ albo 1 . W programie Mathematica można to wyrazić poprzez zdefiniowaną funkcję (poniżej), która zawiera również operacje upraszczające wyrażanie.

```
In[38]:= px[i_x] := Flatten[Simplify[(\langle i_x | \cdot | \psi_0 \rangle) * (\langle i_x | \cdot | \psi_0 \rangle)]][[1]]
           |spłaszcz |uprość
```

Obliczając wyrażanie różnicę prawdopodobieństw:

```
In[39]:= FullSimplify[px[0x] - px[1x]]
          |uproszcz pełniej
```

```
Out[39]= Cos[φ] Sin[θ]
```

stwierdzamy, że wartość $px[0x] - px[1x]$ jest równa składowej P_x wektora Blocha P . Kończy to dowód tezy 3-a) twierdzenia.

Krok 6. Prawdopodobieństwo wyników pomiaru typu Y. Dowód tezy 3- b).

Zdefiniujemy wektory (oznaczane w tutorialu [T-48] jako $|0\rangle$ i $|1\rangle$) poprzez :

```
In[40]:= |0y> = 1/sqrt(2) (|0> + i |1>); |1y> = 1/sqrt(2) (|0> - i |1>);
```

W jawnej postaci można je zapisać jako $\begin{pmatrix} \frac{1}{\sqrt{2}} \\ i \frac{1}{\sqrt{2}} \end{pmatrix}$ i $\begin{pmatrix} \frac{1}{\sqrt{2}} \\ -i \frac{1}{\sqrt{2}} \end{pmatrix}$.

Tym razem są to ortonormalne wektory własne macierzy σ_y (oznaczanej także jako Y), co można sprawdzić wykonując obliczenia analogicznie jak dla przypadku pomiaru typu X. Pomiar typu X [T-48] sprawdza prawdopodobieństwo znalezienia kubitu w stanach: $|0\rangle$, $|1\rangle$. Praw-

dopodobieństwo to wyznaczamy korzystając z iloczynu skalarnego: $py[i_y] = \langle i_y | \psi \rangle \langle \psi | i_y \rangle$
 $=$, gdzie $i=0$ albo 1 .

```
In[41]:= py[i_y] := Flatten[Simplify[(Conjugate[i_y].|psi0>)*|psi0>]][[1]]
          |spłaszcz |uproszcz
```

Również tym razem wyznaczamy różnicę prawdopodobieństw.

```
In[42]:= FullSimplify[py[0y] - py[1y]]
          |uproszcz pełniej
```

```
Out[42]= Sin[θ] Sin[φ]
```

Stwierdzamy, że wartość $py[0y] - py[1y]$ jest równa składowej P_y wektora Blocha P . Kończy to dowód tezy 3-b) twierdzenia.

Krok 7. Prawdopodobieństwo wyników pomiaru typu Z. Dowód tezy 3- c).

Zdefiniujemy wektory (oznaczane w tutorialu [T-15] jako $|0\rangle$ i $|1\rangle$) poprzez :

```
In[43]:= |0z> = |0>; |1z> = |1>;
```

wektory te stanowią tzw. bazę obliczeniową.

Tym razem są to ortonormalne wektory własne macierzy σ_z (oznaczanej także jako Z), co można sprawdzić wykonując obliczenia analogicznie jak dla przypadku pomiaru typu X. Pomiar typu X [T-51] sprawdza prawdopodobieństwo znalezienia kubitu w stanach: $|0z\rangle$, $|1z\rangle$. Praw-

dopodobieństwo to wyznaczamy korzystając z iloczynu skalarnego: $pz[i_z] = \left| \langle i_z | \psi \rangle \right|^2$
 $= (\langle i_z | \psi \rangle)^* \langle i_z | \psi \rangle$ ($i=0$ albo 1).

```
In[44]:= pz[i_z] := Flatten[Simplify[(Conjugate[i_z].|psi0>)*|psi0>]][[1]]
          |spłaszcz |uproszcz
```

Wyznaczamy również różnicę prawdopodobieństw.

```
In[45]:= FullSimplify[pz[0z] - pz[1z]]
          [uprość pełniej]
```

```
Out[45]:= Cos[0]
```

Stwierdzamy zatem że wartość $py[0_z] - py[1_z]$ jest równa składowej P_z wektora Blocha P .
Kończy to dowód tezy 3-c) twierdzenia.

quod erat demonstrandum

III Praktyczny wniosek z twierdzenia .

1. Zauważmy, że wartości prawdopodobieństw $px[0_x]$, $px[1_x]$; $py[0_y]$, $py[1_y]$ oraz $pz[0_z]$, $pz[1_z]$ w komputerze kwantowym wyznaczamy z doświadczenia. Tym samym możemy wyznaczyć eksperymentalne wartości:
 $P_x = px[0_x] - px[1_x]$, $P_y = py[0_y] - py[1_y]$, $P_z = pz[0_z] - pz[1_z]$.
2. Dysponując wektorem P wyznaczonym z doświadczenia (*a posteriori*) możemy skonstruować wektor $\sigma P = P_x \cdot \sigma_x + P_y \cdot \sigma_y + P_z \cdot \sigma_z$ a następnie wyznaczyć wartości własne i wektory własne korzystając z polecenia **(ww=TrigFactor[Eigensystem[σP]])//MatrixForm**.
3. Wybieramy i normujemy wektor własny macierzy σ_n odpowiadający wartości własnej równej +1. Wektor tej wyznacza stan kubitu przed pomiarem

IV Przykład empirycznego wyznaczania stanu kwantowego kubitu (tomografii kubitu).

Krok 1. Na podstawie wyników pomiarów X, Y, Z zamieszczonych w tutorialu [T-45, T-47 i T-50] zapisujemy doświadczone wartości prawdopodobieństw (*a posteriori*):

```
In[46]:= pxd[0x] = 0.49219;
          pxd[1x] = 0.50781;
          pyd[0y] = 1;
          pyd[1y] = 0;
          pzd[0z] = 0.47656;
          pzd[1z] = 0.52344;
```

a następnie wyznaczamy doświadczalny (*a posteriori*) wektor Blocha P_d .

```
In[47]:= Pxd = pxd[0x] - pxd[1x]; Pyd = pyd[0y] - pyd[1y]; Pzd = pzd[0z] - pzd[1z];
          Pdn = {Pxd, Pyd, Pzd}
```

```
Out[48]:= {-0.01562, 1, -0.04688}
```

Krok 2. Ze względu na błędy (szumy) komputera kwantowego powodowane przez dekoherencję (tj. wpływ otoczenia na stan kubitu) długość doświadczonego wektora P_{dn} nie jest równa 1. Dla tego trzeba wprowadzić korektę, tzn. unormować wektor P_{dn} do P_d o długości już równej jeden. Udowodniliśmy, że wektor Blocha P jest ma współrzędne rzeczywiste. Zatem obliczamy kwadrat długości wektora P_{dn} (iloczyn skalarny $P \cdot P$).

```
In[49]:= nPd2 = Pdn.Pdn
```

```
Out[49]:= 1.00244
```

Następnie mnożymy wektor P_{dn} przez czynnik $\frac{1}{\sqrt{nPd2}}$ i uzyskujemy wektor Blocha po korekcie

unormowany do jedności.

$$\text{In[50]:= } \mathbf{Pd} = \frac{1}{\sqrt{\mathbf{nPd2}}} \mathbf{Pdn}$$

Out[50]= { -0.015601, 0.998781, -0.0468229 }

Krok 3. Definiujemy doświadczalną macierz σ_P .

$$\text{In[51]:= } (\sigma_P = \text{Flatten}[\mathbf{Pd}.\sigma, 1]) // \text{MatrixForm}$$

[spłaszcz] [postać macierzy]

Out[51]//MatrixForm=

$$\begin{pmatrix} -0.0468229 + 0. \, i & -0.015601 - 0.998781 \, i \\ -0.015601 + 0.998781 \, i & 0.0468229 + 0. \, i \end{pmatrix}$$

Wyznaczamy wartości własne i wektory własne macierzy σ_P .

$$\text{In[52]:= } (\mathbf{wwd} = \text{Eigensystem}[\sigma_P]) // \text{MatrixForm}$$

[wartości i wektory własne] [postać macierzy]

Out[52]//MatrixForm=

$$\begin{pmatrix} -1. & 1. \\ \{0.0112993 + 0.723384 \, i, 0.690354 + 0. \, i\} & \{-0.010782 - 0.69027 \, i, 0.723472 + 0. \, i\} \end{pmatrix}$$

Krok 4. „Wyłuskujemy” wektor własny odpowiadający wartości własnej +1.

$$\text{In[53]:= } (|\psi_{nd}\rangle = \{\{\mathbf{wwd}[[2, 2, 1]]\}, \{\mathbf{wwd}[[2, 2, 2]]\}\}) // \text{MatrixForm}$$

[postać macierzy]

Out[53]//MatrixForm=

$$\begin{pmatrix} -0.010782 - 0.69027 \, i \\ 0.723472 + 0. \, i \end{pmatrix}$$

Krok 5. Normujemy wektor własny odpowiadający wartości własnej +1. Korzystamy z funkcji **Chop[]**, żeby bardzo małe wartości, bliskie 0 przybliżyć do zera.

$$\text{In[54]:= } \mathbf{normad2} = (\text{Flatten}[\text{Chop}[|\psi_{nd}\rangle \cdot |\psi_{nd}\rangle]] [[1]])$$

[spłaszcz] [zamiana bardzo małej liczby na zero]

Out[54]= 1.

Krok 6. Wyznaczamy unormowany wektor stanu

$$\text{In[55]:= } (|\psi_{ud}\rangle = \frac{1}{\text{Sqrt}[\mathbf{normad2}] } |\psi_{nd}\rangle) // \text{MatrixForm}$$

[postać macierzy]

Out[55]//MatrixForm=

$$\begin{pmatrix} -0.010782 - 0.69027 \, i \\ 0.723472 + 0. \, i \end{pmatrix}$$

Krok 7. Wyłączamy czynnik fazowy $e^{i\phi_0}$ przed nawias [T-18], żeby wektor stanu kubitu przedstawić w postaci $|\psi_\theta\rangle = e^{i\phi_0} (|C_0\rangle |0\rangle + e^{i(\phi_1-\phi_0)} |C_1\rangle |1\rangle)$. W tym celu „Wyłuskujemy” współczynniki C_0 i C_1 , fazy ϕ_0 i ϕ_1 , obliczamy fazę względną $\phi_w = \phi_1 - \phi_0$ oraz moduły $mC_0 = |C_0|$ i $mC_1 = |C_1|$.

```
In[56]:= C0 = (|ψud⟩)[[1, 1]];
C1 = (|ψud⟩)[[2, 1]];
φ0 = Arg[C0]; φ1 = Arg[C1];
      argument liczby ... argument lic
mC0 = Abs[C0];
      wartość bezwzględna
mC1 = Abs[C1];
      wartość bezwzględna
φw = φ1 - φ0
Out[57]= 1.58642
```

Krok 8. Ostatecznie zapisujemy postać wyznaczonego wektora opisującego stan kwantowy kubitu pomijając ogólny czynnik fazowy $e^{i\phi_0}$ wyłączony przez nawias. Korzystamy z funkcji **Defer[]**, która odracza przekształcenia pozostawiając pierwotną formę wyrażenia.

```
In[58]:= |ψd⟩ = Chop[mC0 |0⟩ + eDefer[i] φw mC1 |1⟩]
      zamiana bardzo małej liczby na zero
Out[58]= {{0.690354}, {0.723472 e1.58642 i}}
```

```
In[59]:= (|ψd⟩) // MatrixForm
      postać macierzy
Out[59]//MatrixForm=
      ( 0.690354
        0.723472 e1.58642 i )
```

```
In[60]:= ( 0.690353941572614`
  0.7234717930611779` e1.586415056635388` i ) // N // MatrixForm
      pr... postać macierzy
Out[60]//MatrixForm=
      ( 0.690354
        -0.0112993 + 0.723384 i )
```

Otrzymany wynik kończy procedurę wyznaczania doświadczalnego (*a posteriori*) wektora stanu.

Krok 9. Sprawdzenie - porównanie z wynikiem teoretycznym (*a priori*) transformacji stanu przedstawionej na wykładzie za pomocą bramek H i $U1[\frac{\pi}{2}]$.

W tym celu obliczamy wyrażenie:

$$U1[\frac{\pi}{2}].H.|\theta\rangle = \begin{pmatrix} 1 & 0 \\ 0 & e^{i(\frac{\pi}{2})} \end{pmatrix} \frac{1}{\sqrt{2}} \begin{pmatrix} 1 & 1 \\ 1 & -1 \end{pmatrix} \begin{pmatrix} 1 \\ 0 \end{pmatrix}.$$

```
In[61]:= (1/Sqrt[2]) {{1, 0}, {0, Exp[I Pi/2]}}.{{1, 1}, {1, -1}}.{1, 0} // N // MatrixForm
      pierwiastek kwadratowy fu... pi pr... postać macierzy
Out[61]//MatrixForm=
      ( 0.707107
        0. + 0.707107 i )
```

Wniosek : zauważamy względną różnicę między wynikiem *a posteriori* a przewidywaniem *a priori* rzędu 2%.